

В. Л. Якушев, Д. Г. Кучерявенко

### Расчет сильфонов с учетом геометрической нелинейности

*Предлагается численный метод и алгоритм расчета сильфонов с косинусоидальной гофрировкой мембран. При этом каждая мембрана рассматривается как геометрически нелинейная оболочка вращения. Приводятся результаты расчета сварного сильфона.*

Сильфоны — распространенные элементы различных конструкций, позволяющие получать значительные перемещения в пределах упругости. Они обеспечивают герметичность и могут работать при большом количестве циклов нагружения (рис. 1). В последние годы широкое распространение получили сильфоны из штампованных кольцевых мембран. В этом случае удается достигнуть большой глубины гофрирования при сравнительно простой технологии изготовления. В настоящей статье предлагается методика расчета сильфонов, в которой каждая мембрана рассматривается как геометрически нелинейная оболочка вращения. В используемых уравнениях не накладываются ограничения на перемещения и углы поворота срединной поверхности. Расчет производится численно при помощи ЭВМ.



Рис. 1. Внешний вид сильфонов

#### 1. Описание алгоритма расчета сильфонов

Сильфон представляется как совокупность мембран, работающих в одинаковых условиях. Поэтому весь расчет сводится к изучению одной мембраны, которая считается оболочкой вращения, нагруженной равномерным давлением и распределенными силами по ее краям.

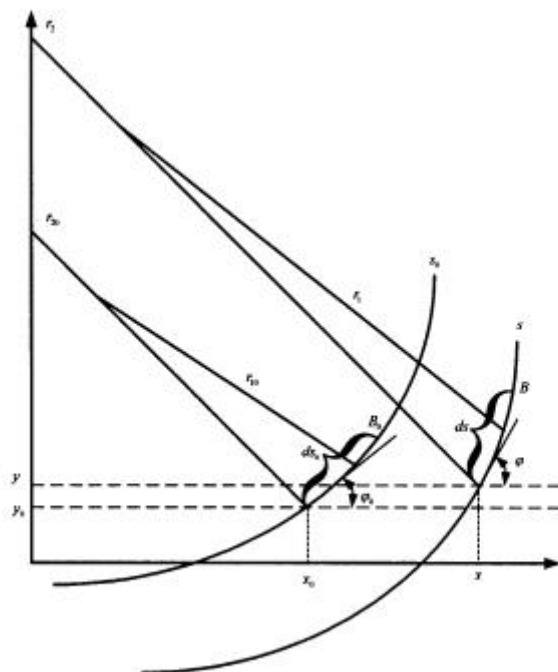
Для расчета мембраны был использован метод [1], позволяющий учитывать изменение геометрии мембраны в процессе нагружения.

Рассмотрим в системе координат  $x, y, q$  осесимметрично нагруженную оболочку толщины  $h$ , срединная поверхность которой получена в результате вращения плоской кривой  $y = f(x)$  относительно оси  $y$  (рис. 2).

Координаты срединной поверхности  $x, y$ , угол наклона  $\varphi$  между осью  $x$  и касательной к срединной поверхности, радиусы кривизны в меридиальном  $r_1$  и в окружном  $r_2$  направлениях являются известными функциями длины дуги срединной линии  $s$ .

Соответствующие величины в недеформированном состоянии отмечаются нулевым индексом. Считаем,

что в начальном положении для срединной линии известны  $x, y, \varphi$  и  $\frac{d\varphi}{ds}$  как функции  $s$ .



**Рис. 2.** Деформация срединной поверхности оболочки.

Величины с нулевым индексом относятся к недеформированному состоянию

На основании гипотез Кирхгофа-Лява, деформация  $\varepsilon_\varphi$  произвольного слоя меридионального сечения, лежащего на расстоянии  $z$  по нормали к срединной поверхности (касательная и нормаль к срединной поверхности составляют правую систему координат), выразится через два параметра  $\varepsilon_1$  и  $k_1$  в виде:

$$\varepsilon_\varphi = \varepsilon_1 - zk_1, \quad (1)$$

где

$$\varepsilon_1 = \frac{ds}{ds_0} - 1, \quad k_1 = \frac{1 + \varepsilon_1}{r_1} - \frac{1}{r_0}. \quad (2)$$

Если известны  $\varepsilon_1$  и  $k_1$ , то новые координаты деформированной срединной линии определяются из уравнений:

$$\frac{d\varphi}{ds_0} = k_1 + \frac{1}{r_1}, \quad \frac{dx}{ds_0} = (1 + \varepsilon_1) \cos \varphi, \quad \frac{dy}{ds_0} = (1 + \varepsilon_1) \sin \varphi. \quad (3)$$

Аналогичным образом определим деформацию  $\varepsilon_\theta$ :

$$\varepsilon_\theta = \varepsilon_2 - zk_2, \quad (4)$$

где

$$\varepsilon_2 = \frac{x}{x_0} - 1, \quad k_2 = \frac{\sin \varphi - \sin \varphi_0}{x_0}. \quad (5)$$

Для решения нелинейной задачи будем использовать метод продолжения по некоторому параметру  $t$  [1]. Для этого продифференцируем по  $t$  уравнения равновесия и геометрические уравнения (3). В случае не малых смещений и углов поворота уравнения равновесия записываются так [1]:

$$\frac{\partial^2 N_\varphi}{\partial s_0^2 \partial t} + \frac{\partial}{\partial t} \left[ \frac{(1 + \varepsilon_1)(N_\varphi - N_\theta)}{x_0} \cos \varphi - Q_\varphi \left( k_1 + \frac{d\varphi_0}{ds_0} \right) + (1 + \varepsilon_1) P_\varphi \right] = 0,$$

$$\frac{\partial^2 M_\varphi}{\partial s_0^2 \partial t} + \frac{\partial}{\partial t} \left[ \frac{(1 + \varepsilon_1)(M_\varphi - M_\theta)}{x} \cos \varphi - Q_\varphi (1 + \varepsilon_1) \right] = 0, \quad (6)$$

$$\frac{\partial^2 Q_\varphi}{\partial s_0 \partial t} + \frac{\partial}{\partial t} \left[ \frac{(1 + \varepsilon_1)(N_\varphi \sin \varphi + Q_\varphi \cos \varphi)}{x} + N_\varphi \left( k_1 + \frac{d\varphi_0}{ds_0} \right) + (1 + \varepsilon_1) P_z \right] = 0,$$

где  $N_\varphi, N_\theta$  — нормальные в сечениях силы;  $Q_\varphi$  — перерезывающая сила;  $M_\varphi, M_\theta$  — изгибающие моменты;  $P_\varphi, P_z$  — соответственно касательная и нормальная к срединной линии составляющие внешней нагрузки. В дальнейшем  $P_\varphi = 0$ , а  $P_z = \beta t$ .

На основании закона Гука имеем:

$$\begin{aligned} N_\varphi &= \frac{Eh}{1 - \nu^2} (\varepsilon_1 + \nu \varepsilon_2), & N_\theta &= \frac{Eh}{1 - \nu^2} (\varepsilon_2 + \nu \varepsilon_1), \\ M_\varphi &= -\frac{Eh^3}{12(1 - \nu^2)} (k_1 + \nu k_2), & M_\theta &= -\frac{Eh^3}{12(1 - \nu^2)} (k_2 + \nu k_1) \end{aligned} \quad (7)$$

где  $E$  — модуль упругости;  $\nu$  — коэффициент Пуассона.

Из этих соотношений можно найти  $N_\varphi, M_\varphi, N_\theta, M_\theta$  как функции  $\varepsilon_1, k_1, \varphi, x, y$ , воспользовавшись (5) и (7). После их подстановки в (6) и (3) получим систему шести дифференциальных уравнений в частных производных:

$$\frac{\partial^2 F}{\partial s_0 \partial t} + A \frac{\partial F}{\partial t} + B = 0, \quad (8)$$

где  $F$  — столбец из величин  $Q_\varphi, \varepsilon_1, k_1, \varphi, x, y$ ;  $A$  и  $B$  — квадратная матрица и вектор, являющиеся функциями от  $s$  и меняющиеся в процессе нагружения.

Уравнения (8) в общем виде аналитически не решаются, поэтому они решались численно. Для этого была введена сетка с шагом  $\delta$  по координате  $s$  и  $\tau$  по  $t$ . Шаг  $\delta$  может меняться в зависимости от  $s$  произвольным образом и определяется соответственно необходимой точности. Он может быть обусловлен другими требованиями, например, получением значений всех функций в каких-либо точках срединной поверхности, поскольку вектор известен только в конечном числе точек срединной поверхности.

Предположим, что при  $t = t_j$  известен вектор  $F$  и матрицы  $A$  и  $B$  в ряде точек вдоль срединной линии.

Обозначая производную  $\frac{\partial F}{\partial t}$  через  $\Phi$ , приходим к системе обыкновенных дифференциальных уравнений с переменными коэффициентами:

$$\frac{d\Phi}{ds_0} + A(s_0)\Phi + B(s_0) = 0. \quad (9)$$

Граничные условия, определяющие характер закрепления мембран, устанавливаются для (9) двухточечную краевую задачу, для решения которой применяется метод ортогональной прогонки [3]. Величина  $\Phi$  заменялась

отношением конечных величин  $\frac{\Delta F}{\tau_j}$ , откуда и определялось  $\Delta F^1$ . После этого находились новые значения  $A$  и  $B$  в (9) для  $\tilde{F} = F_j + \Delta F_j$ . После этого вновь решалась краевая задача и определялись значения  $\Delta F^2$ . Окончательно

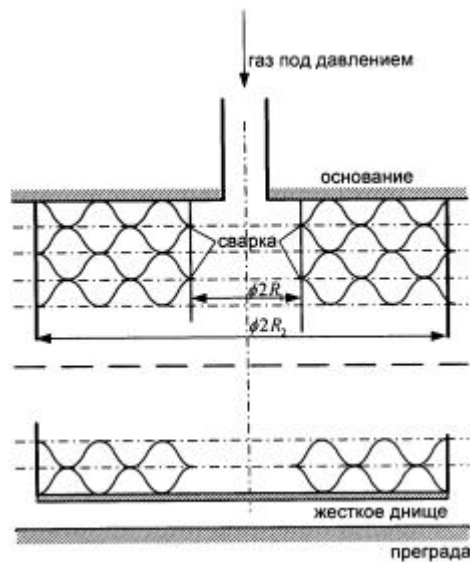
величина приращения на слое  $t$  находилась по формуле  $\Delta F_j = \frac{\Delta F^1 + \Delta F^2}{2}$ . Далее весь процесс повторялся для  $t_{j+1} = t_j + \tau_j$ . Шаг по времени  $\tau_{j+1}$  выбирался автоматически следующим образом:

$$\tau_{j+1} = \tau_j \sqrt{\frac{l}{|\Delta F^2| - |\Delta F^1|}}, \quad (10)$$

где  $l$  — некоторая малая величина, устанавливаемая путем пробных расчетов. Подробно метод численного расчета описан в [1, 4].

## 2. Расчет сильфонов с косинусоидальной гофрировкой

Приведенный выше алгоритм был реализован программно. На его основе была решена задача о расчете сварного сильфона с косинусоидальной гофрировкой. Схема такого сильфона показана на рис. 3.



**Рис. 3.** Схема сварного сифона с косинусоидальной гофрировкой

Каждая мембрана представляет собой кольцевую гофрированную пластину. Все пластины соединены между собой сваркой по внешнему и внутреннему радиусам. Сифон прикреплен к недеформируемому основанию и имеет жесткое днище. Длина сифона в ненагруженном состоянии равна  $L$ .

Внутри сифона подается газ под давлением  $P$ . В результате деформации пластин его длина начинает увеличиваться. При некотором давлении  $P_1$  днище сифона достигает преграды. После этого при увеличении давления его длина остается неизменной. Таким образом, для каждой мембраны будут существовать два типа граничных условий (рис. 4).

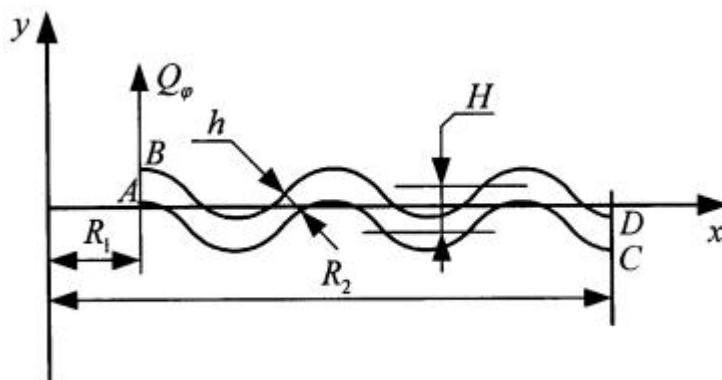
Первый тип —  $P < P_1$ :

$$\begin{aligned} x = R_1, & & x = R_2, \\ \dot{\phi} = \dot{N}_\phi = 0, & \quad Q_\phi = \frac{xP}{2}; & \dot{\phi} = \dot{N}_\phi = \dot{y} = 0. \end{aligned} \quad (11)$$

В этом случае считается, что внешний край мембраны не имеет смещения в направлении оси  $y$ . Сила  $Q_\phi$  на внутреннем крае появляется за счет действия остальных мембран.

Второй тип —  $P \geq P_1$ :

$$\begin{aligned} x = R_1, & & x = R_2, \\ \dot{\phi}' = \dot{N}_\phi = \dot{y} = 0; & & \dot{\phi} = \dot{N}_\phi = \dot{y} = 0. \end{aligned} \quad (12)$$



**Рис. 4.** Граничные условия для мембраны

Число пластин было равно  $N = 30$ . Внутренний радиус  $R_1 = 7,1$  мм, внешний  $R_2 = 15$  мм. Толщина каждой пластины  $h = 0,1$  мм. Амплитуда отклонений по оси  $y$ ,  $H = 0,5$  мм. Сифон нагружался внутренним давлением  $P$

до 1,3 атм. Изменение длины сифона по оси было ограничено величиной  $\delta = 5$  мм.  
Координата  $y$  срединной поверхности задавалась как функция:

$$y = H \cos(ax + b), \quad (13)$$

где  $a$  и  $b$  определялись из условий:

$$\begin{aligned} x = R_1, & & x = R_2, \\ y = H, & & y = -H, \\ ax + b = 0, & & ax + b = 5\pi. \end{aligned} \quad (14)$$

Окончательный вид формулы (13) записывается следующим образом:

$$y = H \cos \left[ \frac{5\pi}{R_2 - R_1} (x - R_1) \right]. \quad (15)$$

Угол наклона  $\varphi$  срединной поверхности к оси  $x$  равен:

$$\varphi = \operatorname{arctg} \frac{dy}{dx} = -\operatorname{arctg} \left\{ \frac{5\pi H}{R_2 - R_1} \sin \left[ \frac{5\pi}{R_2 - R_1} (x - R_1) \right] \right\}. \quad (16)$$

Длина вдоль срединной поверхности  $s$  определяется путем численного интегрирования:

$$s = \int_{x=R_1}^x \sqrt{1 + \left( \frac{dy}{dx} \right)^2} dx. \quad (17)$$

При этом считалось, что при  $x = R_1$ ,  $s = 0$ .

Производная  $\varphi$  по  $s$  находилась аналитически:

$$\frac{d\varphi}{ds_0} = \frac{d\varphi}{dx_0} \frac{dx_0}{ds_0} = - \frac{\left( \frac{5\pi}{R_2 - R_1} H \right)^2 \cos \left[ \frac{5\pi}{R_2 - R_1} (x - R_1) \right]}{\left[ 1 + \left( \frac{5\pi}{R_2 - R_1} H \right)^2 \sin^2 \left[ \frac{5\pi}{R_2 - R_1} (x - R_1) \right] \right]^{\frac{3}{2}}}. \quad (18)$$

Расчетные точки располагались через равные расстояния по оси  $x$ . В этом случае шаг по  $s$  при

интегрировании системы (9) оказывался неравномерным. Распределение функций  $\varphi$ ,  $y$  и  $\frac{d\varphi}{ds_0}$  в зависимости

от координаты  $h = \frac{x - R_1}{R_2 - R_1}$  приведено на рис. 5.

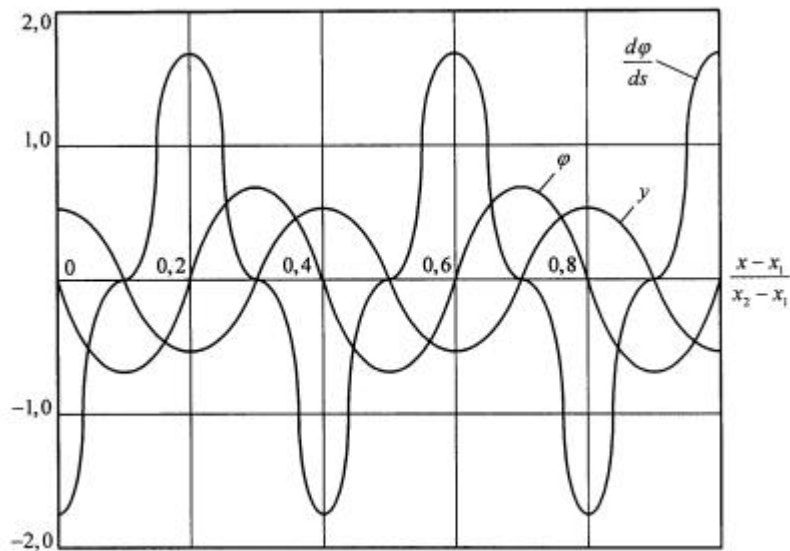


Рис. 5. Распределение функций  $\varphi$ ,  $y$  и  $\frac{d\varphi}{ds}$

Причем  $y$  и  $s$  обезразмерены следующим образом:

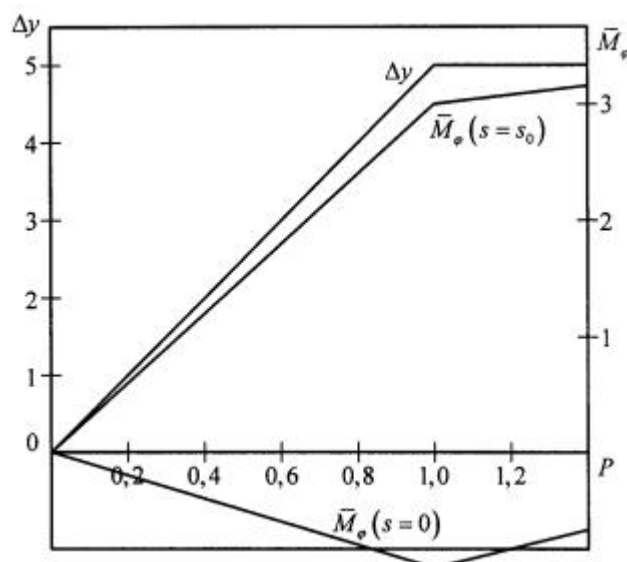
$$\bar{y} = \frac{y}{\mu R_z}, \quad \bar{s} = \frac{s}{\mu R_z}, \quad \mu = \sqrt{\frac{h}{2R_z}}. \quad (19)$$

Используя метод, описанный выше, был проведен полный расчет напряженно-деформированного состояния одной пластины сильфона (рис. 4). Получены следующие значения напряжений  $\sigma_\varphi$  и  $\sigma_\theta$ :

	$A(s=0, z=h/2)$	$B(s=0, z=-h/2)$	$C(s=s_0, z=h/2)$	$D(s=s_0, z=-h/2)$
$\sigma_\varphi$	-12,3	12,3	46,3	-46,3
$\sigma_\theta$	-3,69	3,69	13,9	-13,9

На рис. 6 дана зависимость изменения общей длины сильфона от давления.

При  $P_1 = 1,055$  атм  $\Delta y$  достигает  $\delta = 5$  мм и затем остается постоянным. На рис. 6 нанесена безразмерная величина изгибающего момента  $\bar{M}_\varphi$  при  $s = 0$  и  $s = s_0$  в зависимости от давления.



**Рис. 6.** Изменение общей длины сиффона от давления**литература**

1. Ширко И. В., Якушев В. Л. Физически и геометрически нелинейные деформации оболочек вращения // Изв. АН СССР. МТТ. 1975. № 6. С. 103–109.
2. Сиффоны. Расчет и проектирование / Под ред. Л. Е. Андреевой. Библиотека приборостроения. М.: Машиностроение, 1975.
3. Годунов С. К. О численном решении краевых задач для систем линейных обыкновенных дифференциальных уравнений // Успехи матем. наук. 1961. Т. 16, вып. 3.
4. Якушев В. Л. Нелинейные деформации и устойчивость тонких оболочек. М.: Наука, 2004.

V. L. Yakushev, D. G. Kucheryavenko

**COMPUTATION OF SYLPHONS ACCOUNTING FOR GEOMETRIC NON-LINEARITY**

*The article suggests a numerical method and computing algorithm with regard to sylphons with cosinusoid-like bellows. Any of the bellows being treated as a geometrically non-linear rotational shell. The article quotes computing results on a welded sylphon.*